

## ЛИТЕРАТУРА

1. *Baker O.* Simultaneous flow of oil and gas.— Oil and Gas J., 1954, v. 53, № 12, p. 185–195.
2. *Мамаев В. А., Одишария Г. Э., Семенов Н. И., Точишин А. А.* Гидродинамика газожидкостных смесей в трубах. М.: Недра, 1969. 208 с.
3. *Далецкий В. М., Ефимов В. Б., Пономарев Г. В.* Разработка гидродинамического метода расчета трубопроводов с совместным течением газа и жидкости.— Тр. ВНИИ разработки и эксплуат. нефтепромысл. труб, 1972, вып. 2, с. 149–161.
4. *Гужов А. И.* Совместный сбор и транспорт нефти и газа. М.: Недра, 1973. 280 с.
5. *Kordyban E., Ranov T.* Mechanism of slug formation in horizontal two-phase flow.— Trans. ASME, ser. D, J. Bas. Engng, 1970, v. 92, № 4, p. 857–864.
6. *Wallis G. B., Dobson J. E.* The onset of slugging in horizontal stratified air-water flow.— Int. J. Multiphase Flow, 1973, v. 1, № 1, p. 173–193.
7. *Taitel Y., Dukler A. E.* A model for predicting flow regime transitions in horizontal and near horizontal gas-liquid flow.— AIChE Journal, 1976, v. 22, № 1, p. 47–55.
8. *Арманд А. А.* Сопротивление при движении двухфазной системы по горизонтальным трубам.— Изв. Всесоюз. теплотехн. ин-та, 1946, № 1, с. 16–23.
9. *Govier G. W., Aziz K.* Flow of complex mixtures in pipes. N. Y.: Van Nostrand Reinhold, 1972. 792 p.
10. *Костерин С. И.* Исследование влияния диаметра и расположения трубы на гидравлические сопротивления и структуры течения газожидкостной смеси.— Изв. АН СССР. ОТН, 1949, № 12, с. 1824–1831.
11. *Мологин М. А.* Формы течений газожидкостных смесей в горизонтальных трубах.— Докл. АН СССР, 1954, т. 94, № 5, с. 807–810.
12. *Hoogendoorn C. J.* Gas-Liquid flow in horizontal pipes.— Chem. Engng Sci., 1959, v. 9, № 4, p. 205–217.
13. *Mandhane J. M., Gregory G. A., Aziz K.* A flow pattern map for gas-liquid flow in horizontal pipes.— Int. J. Multiphase Flow, 1974, v. 1, № 4, p. 537–553.

Краснодар

Поступила в редакцию  
16.I.1980

УДК 532.546.013.02

### О ГИДРАВЛИЧЕСКИХ РАСЧЕТАХ ПОДЗЕМНЫХ ХРАНИЛИЩ, УСТРАИВАЕМЫХ В ЗОНАХ ПОВЫШЕННОЙ ПРОНИЦАЕМОСТИ СКАЛЬНЫХ И ПОЛУСКАЛЬНЫХ ПОРОД

САРКИСЯН В. С.

Точные решения для сферического уравнения нестационарной фильтрации упругой жидкости в упругой пористой среде с учетом различия вязкостей нагнетаемой и вытесняемой жидкостей, когда проницаемость является функцией радиус-вектора, в настоящее время отсутствуют.

Решения разнообразных краевых задач для линейного уравнения фильтрации, сводящегося к классическому уравнению теплопроводности, могут быть получены при помощи хорошо известных методов как в случае конечного, так и бесконечного пласта. Однако, как правило, эти решения связаны с весьма громоздкими вычислениями, что затрудняет их использование для инженерных расчетов. Дело в том, что обычно эти решения выражаются в виде бесконечного ряда и несобственного интеграла, содержащего специальные функции. Так что для более или менее точных расчетов следует удерживать большое число членов ряда. Поэтому обычно предпринимают поиски и разработки эффективных, достаточно точных, приближенных решений задач упругого режима.

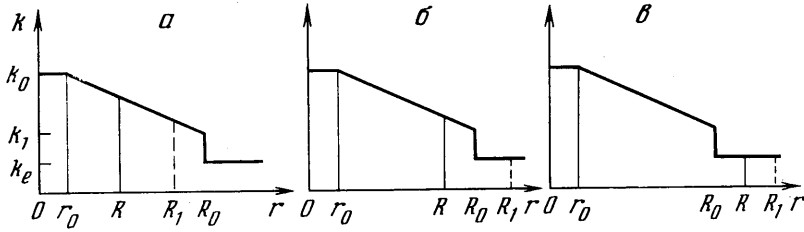
Одним из простейших методов является метод последовательной смены стационарных состояний. Отдельные случаи применения этого метода встречаются еще в [1]. Дальнейшее развитие этот метод получил в работах [2–4]. В [5] предложен приближенный метод, при котором точность результатов улучшается, так как эпюра давления в возмущенной области задается в виде некоторой функции вследствие осреднения производной  $\partial p/\partial t$  по пространственной координате. Распределение давления в этом случае является нестационарным.

Рассмотрим нагнетание жидкостей с вязкостью  $\mu_1$  в скважину с радиусом  $r_0$ , размещенную в центре сферической области фильтрации с радиусом  $R_0$  и проницаемостью  $k(r) \gg k_e$ , где  $k_e$  — проницаемость пород в естественном залегании. Примем, что пласт насыщен жидкостью с вязкостью  $\mu_2$ .

При решении задачи будем пользоваться методом осреднения, основанным на введении области возмущения  $r \leq R_1(t)$ , в пределах которой во время нагнетания жидко-

стей наблюдается изменение давления, а за пределами  $r > R_1$  давление в пласте равно естественному  $p_e$  (до нагнетания).

Разделим процесс нагнетания на три фазы. В первую фазу граница между нагнетаемой и вытесняемой жидкостями  $r=R$ , а также граница области возмущения  $r=R_1$  находятся в зоне повышенной трещиноватости (фигура, а), поэтому имеет место следующее неравенство:  $r_0 \leq R < R_1 \leq R_0$ . Во время второй (фигура, б) и третьей (фигура, в) фаз имеют место соответственно следующие неравенства:  $r_0 < R < R_0 \leq R_1$  и  $r_0 < R_0 \leq R < R_1$ .



Область фильтрации делится на три зоны. Первая — зона нагнетаемой жидкости в пределах пласта с повышенной проницаемостью ( $r_0 < r \leq R$ ), вторая — зона вытесняемой жидкости в пределах того же пласта ( $R < r < R_0$ ), третья — зона, насыщенная вытесняемой жидкостью в пределах пласта с естественной проницаемостью. Дифференциальные уравнения для этих зон имеют вид

$$\frac{1}{r^2} \frac{\partial}{\partial r} \left[ \frac{k(r)}{\mu_i} r^2 \frac{\partial p_i}{\partial r} \right] = \beta_i^* \frac{\partial p_i}{\partial t}, \quad i=1, 2 \quad (1)$$

$$\frac{1}{r^2} \frac{\partial}{\partial r} \left( r^2 \frac{\partial p_3}{\partial r} \right) = \frac{1}{a_e} \frac{\partial p_3}{\partial t} \quad (2)$$

$$\beta_i^* = \alpha_i n + \alpha_3 (1-n), \quad i=1, 2$$

где  $p_i$  ( $i=1, 2, 3$ ) — давления в зоне  $i$ ,  $k$  — проницаемость зоны повышенной трещиноватости,  $\mu_{1,2}$  — вязкости нагнетаемой и вытесняемой жидкостей,  $a_e$  — пьезопроводность пласта в области с естественной проницаемостью  $k_e$ ,  $\beta_1^*$  и  $\beta_2^*$  — коэффициенты упругости пласта, характеризующие сжимаемость жидкости и пласта,  $\alpha_1$  и  $\alpha_2$  — коэффициенты сжимаемости нагнетаемой и вытесняемой жидкостей,  $\alpha_3$  — коэффициент сжимаемости пород зоны повышенной проницаемости.

Рассмотрим решение (1)–(2) в предположении, что проницаемость пород в зоне повышенной трещиноватости ( $r_0 \leq r \leq R_0$ ) изменяется вдоль радиус-вектора по линейному закону (фигура), т. е.

$$k = \alpha(1 - \beta r'), \quad \alpha = k_0 \frac{1 - r_0' k_1 / k_0}{1 - r_0'}, \quad \beta = \frac{1 - k_1 / k_0}{1 - r_0' k_1 / k_0}, \quad r' = \frac{r_0}{R_0}$$

*Первая фаза фильтрации.* Для первой фазы граничные условия имеют вид

$$r=r_0: Q = -4\pi \frac{\alpha(1-\beta r')}{\mu_1} r^2 \frac{\partial p_1}{\partial r} = \text{const} \quad (3)$$

$$r=R: p_1 = p_2, \quad \frac{\partial p_1}{\partial r} = \mu_0 \frac{\partial p_2}{\partial r}, \quad \mu_0 = \frac{\mu_1}{\mu_2} \quad (4)$$

$$r=R_1: p_2 = p_e, \quad \frac{\partial p_2}{\partial r} = 0 \quad (5)$$

где  $Q$  — постоянный дебит скважины,  $p_e$  — давление в пласте в естественных условиях,  $R_1$  — расстояние от центра скважины до точки, где давление равно естественному  $p_e$  (радиус области возмущения).

Для определения  $R(t)$  и  $R_1(t)$  используем условия

$$n(R) \frac{dR}{dt} = - \frac{k(R)}{\mu_1} \frac{\partial p_1(R, t)}{\partial r} = \frac{Q}{4\pi R^2} \quad (6)$$

$$Qt = \int_{R_1}^{R_1} \beta_2^* r^2 [p_2(r, t) - p_e] dr, \quad k = An^2, \quad n = \left( \frac{\alpha}{A} \right)^{1/2} (1 - \beta r')^{1/2}$$

Решения уравнений (1) – (2) при условиях (3) – (6) будут

$$p_1 = p_e - p^* [H - F_{1+}(r')] \quad (7)$$

$$p_2 = p_e + \frac{p^*}{\mu_0 (R_1'^3 - R'^3)} \left\{ \frac{1}{\beta} (R_1' - r') + \frac{1}{\beta^2} F_2(R_1', r') + R_1'^3 \left[ \beta \left( \ln \frac{R_1'}{r'} + F_2(r', R_1') - \frac{1}{R_1'} + \frac{1}{r'} \right) \right] \right\} \quad (8)$$

$$H = \frac{1}{\beta \mu_0 (R_1'^3 - R'^3)} \left[ R_1' - R' + \frac{1}{\beta} F_2(R_1', R') \right] + \frac{R_1'^3}{\mu_0 (R_1'^3 - R'^3)} \times \\ \times \left[ \beta \left( \ln \frac{R_1'}{R'} + F_2(R', R_1') + F_{1-}(R') \right) \right] \\ p^* = \frac{Q \mu_1}{4 \pi \alpha R_0}; \quad F_{1\pm}(\theta) = \beta \ln \frac{\theta}{1 - \beta \theta} \pm \frac{1}{\theta}; \quad F_2(\theta_1, \theta_2) = \ln \frac{1 - \beta \theta_1}{1 - \beta \theta_2}$$

Забойное давление  $p_0$  найдется по (7) при  $r = r_0$ .

Интегрирование первого выражения (6) при  $n(R)$ , определяемом третьим соотношением (6), в пределах от  $r_0$  до  $R$  и от 0 до  $t$  дает закон движения границы раздела  $R(t)$  в виде

$$t = \frac{16 \pi R_0^3}{Q \beta^3} \left( \frac{\alpha}{A} \right)^{1/4} \left\{ \frac{1}{5} [(1 - \beta r_0')^{3/4} - (1 - \beta R')^{3/4}] \frac{2}{9} [(1 - \beta r_0')^{3/4} - (1 - \beta R')^{3/4}] + \right. \\ \left. + \frac{1}{13} [(1 - \beta r_0')^{13/4} - (1 - \beta R')^{13/4}] \right\} \quad (9)$$

Подставляя  $p_2$  из (8) во второе уравнение (6), получим закон движения границы зоны возмущения  $R_1$ :

$$t = \frac{\beta_2^* \mu_2 R_0^2}{3 \alpha (R_1'^3 R'^3)} \left\{ \frac{(R_1' - R')^2}{2} \frac{1}{2 \beta} [(R_1'^2 + 2R_1'R' + 3R'^2) + R_1'^2 (R_1' + 2R')] - \right. \\ \left. - \frac{1}{\beta^3} (1 - \beta^3 R'^3) (1 - \beta^3 R_1'^3) F_2(R', R_1') + \beta (R_1'R')^3 \ln \frac{R'}{R_1'} + \right. \\ \left. + \frac{1}{\beta^4} (1 - \beta^3 R_1'^3) (R_1' - R') + \frac{1}{2 \beta^3} (1 - \beta^3 R_1'^3) (R_1'^2 - R'^2) + \frac{1}{3 \beta^2} (R_1'^3 - R'^3) \right\} \quad (10)$$

Длительность первой фазы определяется по (10) при  $R_1 = R_0$ .

*Вторая фаза фильтрации.* Во вторую фазу граница области возмущения  $R_1$  находится в зоне, где проницаемость равна естественной  $k_e$  ( $R_0 \leq r < \infty$ ), а граница раздела жидкостей  $R -$  в области  $r_0 \leq r \leq R_0$  (см. фигуру, б).

Уравнения (1) в этом случае решаем, предполагая  $\partial p_{1,2} / \partial t = 0$ , а в уравнении (2) осредняем член  $\partial p_3 / \partial t$  по координате  $r$ .

Система (1) решается при условиях (3) – (4) и следующих соотношениях:

$$r = R_0: \quad p_2 = p_3, \quad \frac{\partial p_2}{\partial r} = \varepsilon \frac{\partial p_3}{\partial r}, \quad \varepsilon = \frac{k_e}{k_1} \\ r = R_1: \quad p_3 = p_e = \text{const}, \quad \frac{\partial p_3}{\partial r} = 0$$

Граница раздела жидкостей  $R$  будет определяться по первому соотношению (6), а граница зоны возмущения  $R_1 -$  из условия

$$Q t = 4 \pi \int_{R_0}^{R_1} \beta_3^* r^2 [p_3(r, t) - p_e] dr, \quad \beta_3^* = \alpha_2 n_e + \alpha_1 (1 - n_e) \quad (11)$$

где  $\beta_3^*$  – коэффициент упругости для третьей зоны ( $r > R_0$ ),  $n_e$  и  $\alpha_1$  – пористость и коэффициент сжимаемости пород, находящихся в естественных условиях.

Распределения давления в этом случае определяются по формулам

$$p_1 = p_e + p^* [\Phi_1 - F_{1+}(r')], \quad p_2 = p_e + \frac{1}{\mu_0} p^* [\Phi_2 - F_{1-}(r')] \quad (12)$$

$$p_3 = p_e + \frac{p^* [r'^2 - 2R'/r - 3R'^2]}{2\mu_0 \varepsilon (1-\beta) (R_1'^2 - 1)} \quad (13)$$

$$\Phi_1 = \frac{(R_1' - 1)(2R_1' - 1)}{2\beta \varepsilon (1-\beta) (R_1'^2 + R_1' + 1)} - \left( \frac{1}{\mu_0} - 1 \right) F_{1-}(R') + \frac{1}{\mu_0} F_{1-}(1)$$

$$\Phi_2 = \frac{(R_1' - 1)(2R_1' - 1)}{2\varepsilon (1-\beta) [R_1'^2 + R_1' + 1]} + F_{1-}(1) \quad (14)$$

Закон движения границы раздела жидкостей  $R$  во второй фазе определяется по формуле (9). Подставляя (13) в (11) и производя интегрирование, найдем закон движения границы зоны возмущения  $R_1$

$$t = \frac{\beta_3^* \mu_1 R_0^2 (R_1' - 1) [R_1'^2 + 3R_1' + 1]}{10\alpha \mu_0 \varepsilon (1-\beta) [R_1'^2 + R_1' + 1]}$$

Длительность второй фазы находится из (9) при  $R=R_0$  ( $R'=1$ ). Для нахождения  $R(t)$  в этом случае можно пользоваться формулой (9).

*Третья фаза фильтрации.* В третью фазу граница раздела жидкостей  $R$  и граница области возмущения  $R_1$  находятся в зоне с естественной проницаемостью (фигура, е). Предполагается в уравнениях (1)  $\partial p_{1,2}/\partial t = 0$ , и осредняется  $\partial p_3/\partial t$  по координате  $r$  в уравнении (2).

Граничные условия в этом случае имеют вид (3), а также

$$r=R_0: p_1=p_2; \quad \frac{\partial p_1}{\partial r} = \varepsilon \frac{\partial p_2}{\partial r}$$

$$r=R: p_2=p_3; \quad \frac{\partial p_2}{\partial r} = \mu_0 \frac{\partial p_3}{\partial r}$$

$$r=R_1: p_3=p_e = \text{const}; \quad \frac{\partial p_3}{\partial r} = 0$$

Давления в пласте находятся по зависимостям

$$p_1 = p_e + p^* \left[ \frac{1}{\varepsilon(1-\beta)} \left( R^* - \frac{1}{R'} + 1 \right) + \beta F_2(r', 1) - 1 + \frac{1}{r'} \right] \quad (15)$$

$$p_2 = p_e + \frac{p^*}{\varepsilon(1-\beta)} \left( R^* - \frac{1}{R'} + \frac{1}{r'} \right) \quad (16)$$

$$p_3 = p_e + \frac{p^*}{2\mu_0 \varepsilon (1-\beta) (R_1'^2 - R'^2)} \left( r'^2 + \frac{2R_1'^2}{r'} - 3R'^2 \right) \quad (17)$$

$$R^* = \frac{(R_1' - R')(2R_1' + R')}{2\mu_0 R' (R_1'^2 + R_1' R' + R'^2)}$$

Забойное давление  $p_0$  находится из (15) при  $r=r_0$ . Закон движения границы раздела жидкостей  $R$  для третьей фазы определяется из уравнения

$$Q = 4\pi n_e R^2 \frac{dR}{dt} \quad (18)$$

Интегрируя (18) от  $t_1$  до  $t$  и от  $R_0$  до  $R$  ( $R > R_0$ ), найдем

$$t = t_1 + \frac{4\pi n_e R_0^3}{3Q} (R'^3 - 1)$$

Время  $t_1$ , за которое граница раздела пройдет расстояние от  $r_0$  до  $R_0$ , определяется из (9) при  $R=R_0$ .

Радиус зоны возмущения  $R_1$  находится из выражения

$$Qt = 4\pi \int_{R_1}^{R_0} \beta_3^* r^2 [p_3(r, t) - p_e] dr \quad (19)$$

Подставляя выражения для  $p_3$  из (17) в (19) и интегрируя, получим

$$t = \frac{\delta_3^* \mu_1 R_0^2 (R_1' - R')^2 (R_1' + 3R_1' R' + R'^2)}{10\alpha \mu_0 \varepsilon (1-\beta) (R_1'^2 + R_1' R' + R'^2)}$$

Полученные зависимости дают возможность определить распределение давления в любой момент времени после начала нагнетания жидкостей во всех зонах пласта; забойное давление  $p_0$  и закон движения границы раздела  $R$ . Линейное изменение проницаемости при стационарном режиме фильтрации рассмотрел С. В. Васильев [6].

### ЛИТЕРАТУРА

1. *Lembke C.* Du mouvement des eaux souterraines et théorie de leurs collecteurs.— Rev. Univ. Mines, 3ème série, 1888, v. 1, 2, 3, 4.
2. *Чарный И. А.* Подземная гидромеханика. М.—Л.: Гостехиздат, 1948. 196 с.
3. *Чарный И. А.* Метод последовательной смены стационарных состояний и его приложения к задачам нестационарной фильтрации жидкостей и газов.— Изв. АН СССР. ОТН, 1949, № 3, с. 323—342.
4. *Чарный И. А.* Подземная гидрогазодинамика. М.: Гостоптехиздат, 1963. 396 с.
5. *Пирвердян А. М.* Нефтяная подземная гидравлика. Баку: Азнефтеиздат, 1956. 332 с.
6. *Васильев С. В.* Закачка жидкостей в зону искусственной трещиноватости пород при изменении их проницаемости по линейному закону.— Тр. ВНИИ водоснабж., канализ., гидротехн. сооруж. и инж. гидрогеол., 1975, вып. 48, с. 53—56.

Москва

Поступила в редакцию  
7.VII.1981

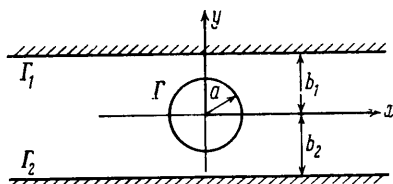
УДК 532.58.034

## ДВИЖЕНИЕ КРУГОВОГО ЦИЛИНДРА В ПРЯМОУГОЛЬНОМ КАНАЛЕ

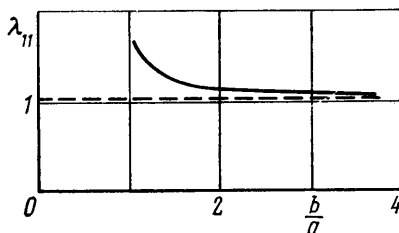
ВАСИЛЬЕВ А. Н., ГОЛУБЕВ В. В.

При движении тел в жидкости параметры их движения сильно зависят от взаимодействия с жидкостью, окружающей эти тела [1, 2]. Настоящая работа посвящена определению гидродинамических сил, действующих на цилиндр, при его движении в бесконечном прямолинейном канале в неподвижной идеальной несжимаемой жидкости.

**1. Постановка задачи и определение потенциала скоростей.** Будем решать плоскую задачу, когда при движении круговой цилиндр не касается стенок прямолинейного



Фиг. 1



Фиг. 2

канала (фиг. 1). Считаем, что возмущенное движение жидкости, вызванное движением цилиндра, возникло из состояния покоя. Тогда потенциал скоростей возмущенного движения жидкости  $\varphi(x, y)$  удовлетворяет в физической области  $D$ , расположенной внутри прямолинейного канала и вне окружности  $\Gamma$  (фиг. 1), представляющей собой контур цилиндра в перпендикулярной к его оси плоскости  $(x, y)$ , уравнению Лапласа и следующим граничным условиям [3]:

$$\Delta\varphi(x, y) = 0 \quad (1.1)$$

$$\left\{ \frac{\partial\varphi}{\partial n} \right\}_{\Gamma} = u_1 \cos(n, x) + u_2 \cos(n, y) \quad (1.2)$$

$$\left\{ \frac{\partial\varphi}{\partial n} \right\}_{\Gamma_i} = 0; \quad \Gamma_1: y - b_1 = 0; \quad \Gamma_2: y - b_2 = 0 \quad (1.3)$$

Здесь  $n$  — направление нормали;  $u_1, u_2$  — составляющие скорости цилиндра;  $\Gamma, \Gamma_i$  — границы цилиндра прямолинейного канала.

Поместим начало прямоугольной декартовой системы координат в центре цилиндра. Физическую область  $D$  отобразим на вспомогательную область с помощью